

粒径分布を考慮した濁質の沈降現象から得られる二、三の考察

東北工業大学 正員 今野 三弘

1. はじめに

貯水池内の水の流動状態は、その水質にも大きく関与するものであって、貯水池水質の把握や管理の上で重要な因子とおもっている。一口に水の流動といっても貯水池でもとり多くの条件、たとえば気象、流入河川、流域・ダムの立地や操作などによって複雑な運動を示すが、貯水池水の特徴である。本報告は、よもよは貯水池の水理特性を明らかにする一つの基礎として、濁質の運動に着目し、その沈降現象から得られる知見の一部についてまとめたものである。

2. 濁液粒子径と沈降速度の関係

$R = 100 \cdot 10^{-b} d^m$ なる分布をもつ濁液粒子を一様に分散させたら、沈降させ、大=十分だけ経過すると、水深 $h = hs$ 以下の濁液粒子の粒径分布は次式により求められる。

$$Ra = \frac{B \int_{d_c}^{d_m} d^{m+1} \cdot 10^{-b} d^m d(d) - A \int_{d_c}^{d_m+1} d^{m+1} \cdot 10^{-b} d^m d(d)}{C - A \int_{d_c}^{d_m+1} d^{m+1} \cdot 10^{-b} d^m d(d)} \times 100 (\%)$$

$$A = \frac{2.303 m b' (P_2 - P_1)}{\mu (175)^2} t \quad P_1, P_2: \text{分散媒分離密度}$$

$$B = 2.303 m b' hs \quad \mu: \text{粘性係数}$$

$$C = hs \left[1 - 10^{-b} \left(\frac{hs}{175 \mu (B - P_1)} \right)^m \right] \quad t: \text{沈降時間}$$

$$d_c = 175 \sqrt{\frac{hs}{\mu (B - P_1)}} \quad hs: \text{参考水深}$$

また、 $t=0$ ときの濁液粒子濃度 SS は次式のように求まる。

$$SS = SS_0 \left[1 - \left\{ \frac{R(d_c)}{100} + \frac{m b'}{d_c^2} \log_e 10 \int_{d_c}^{d_m} d^{m+1} \cdot 10^{-b} d^m d(d) \right\} \right]$$

$$SS_0: t=0 \text{ の } SS \text{ 濃度}, \quad R(d_c): d=d_c \text{ の重量基準の超過確率}(\%)$$

図-1は、フレイ分ケに供するカオリック土のとの粒径分布である。

図より、カオリック土はほぼ Rosin-Rammler 分布 ($R = 100 \cdot 10^{-b} d^m$) をしていいることか明白かつて、 $b = 0.06$, $m = 1.08$, 50% 径が $4.5 \mu\text{m}$ となる。このカオリック土 10%, 分散剤として $\text{Na}_4 \text{P}_2 \text{O}_7 \cdot 10 \text{H}_2\text{O}$

0.2% を加えたものを 1l つくり、1l ピンに貯蔵する。1l のビンには、SS 簡易恒温槽で定温にしたのち、一様に分散させ、再び簡易恒温槽セットして濁液粒子の沈降を開始する。あらかじめ定めておいた時間が経過したのち、1l ピン中の濁液表面から深さ 8cm までの液を抜きながら生じないように、レバしづみやかに抜きとる。液の抜きとりは U 字型にしたガラスパイプ = ピニールホースをヒリつけ、Syphon を使用して行った。一回の抜き取りで得られる量は、500ml 程度であるので、4 回くり返し、各経過時間毎の充填料を約 2l とした。この量は、粒径分布を測定するアンドレアセンピットに供するための必要量である。

図-2 は、フレイ分ケの結果の一例で、各沈降時間毎の粒径分布を示したものである。白丸が実験値で、実線が理論値である。また、図-3 は、

各沈降時間における平均粒径と SS の実験値と理論値と実験値と実験値と点で示されている。粒子平均径について、理論と実験値を比較すると、

理論は大略現象を表わし得ると思われる。すなわち、この種の方法で粉体

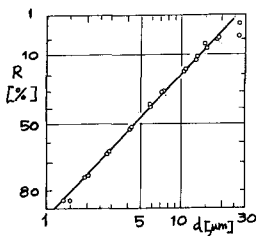


図-1 カオリック土の粒径分布

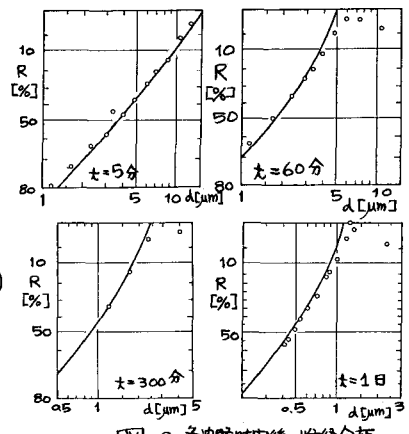


図-2 各沈降時間毎の粒径分布

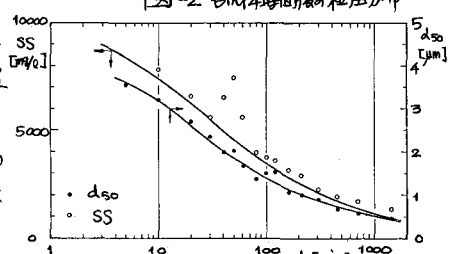


図-3 フル分結果…平均径と SS

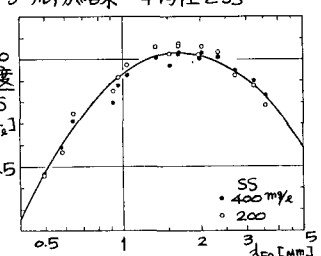


図-4 濁度/SS と平均径の関係

粒子のフリイカケが多少時間は要するものの $1\mu\text{m}$ 以下の平均径を有する粒ではそれ可能であることをわかる。なお、図-3 中に示した SS は、フリイカケによって得られる SS を理論的に示す曲線で、実験値と比較して整合性があるようなく、理論値は現象より SS を若干過小に評価するものである。このようにして求めた各粒径の懸濁粒子を同一の SS に調整して、 λ の発現濃度の値を実験により求めた。浓度計は積分式濃度計を行い、検量線は標準カオリーン（水道協会水質試験法）で作成した。 λ の結果を示したのが図-4である。SS = 400, 200 mg/L のいずれの場合も d_{50} が $1.7\mu\text{m}$ 付近で濃度ピークを有し、径がそれより大きくなると小さくなる濃度の発現値は小さくなることがわかる。しかし、 λ の液化中は大きく、 $d_{50} = 0.5\mu\text{m}$ から $6\mu\text{m}$ では $d_{50} = 1.7\mu\text{m}$ の $1/2$ の濃度しか示さないことがわかる。このことは、濃度が同一であると、懸濁粒子径が異なれば、浓度の存在量が大きく異なることを示している。この点、濃度と振幅として、濃度の量あるいは溶解状態を推測するなど貯水池の水理にかかる情報において特に留意が必要である。貯水池内における浓度の挙動は、水の流動状態などを直ちに把握できるトレーサーではあるが、負荷としての濃度の量および濃度だけでは貯水池内に供給される量の検討には重要なので、正確な情報を得るには浓度ではなく、濃度量を示す SS として整理されなければならない。

3. 各種の貯水池モデルの沈降現象

図-5 は、 $t=0$ で $SS = 500$ で分散している状態から、一开始に沈降を開始した場合、経過時間 $t = t$ 、水深 $h = h$ での SS、粒径分布(略)の計算結果を示したものである。このモデルでは、 $0 \leq t \leq 500$ 分の間に貯水池内の浓度が 500 から 10 まで減少する。ただし、放流水、流入水および水温分布の影響は無視している。水深 20m の貯水池では 1 日後に 1m の水深のところでは SS_0 の約 60% 10^3 で、約 90% の SS になり、10 日後にはそれが 20% , 45% まで減っている。しかし、50 日たった後では 1m の水深で 10% 、水深 10^3m では 20% の SS が残り、一度浓度が落ちた貯水池は沈降現象のみではみやまかず濃化は期待できないことを表している。なお、この時の計算条件は、 2000 $t = 0$ 時の浓度の粒径分布 $R = 100 \cdot 10^{-0.6d^{1.08}}$ 、密度 $\rho_2 = 2.67\text{ g/cm}^3$ 、水温 15°C 、 $SS_0 = 10^3\text{ mg/L}$ である。次に、図-6 は、 $t = 0$ において、水深 $h = hs$ の厚さで SS の濃度の浓度が流入し、沈降し始めから $t = t$ 後における各水深での SS を示したものである。このモデルでは、 $t = 0$ で $SS = 0$ すばらしくて $t = 0$ の粒径の沈降を無視しておき、 $t > 0$ 後の SS の減少は、従来的 SS の流入を考慮しているが、このモデルの SS 、粒径分布の計算式は次のとおりである。

$$SS = \frac{SS_0}{100} \left\{ R_w(d_h) - R_w(d_{h+hs}) \right\}^2, \quad d_h = 175 \sqrt{\frac{h}{t(\rho_2 - \rho_1)}} \\ R'(d_z) = \frac{R_w(d_z) - R_w(d_{z+hs})}{R_w(d_z) - R_w(d_{z+hs})} \times 100 (\%), \quad d_{z+hs} = 175 \sqrt{\frac{(z+hs)}{t(\rho_2 - \rho_1)}}$$

$$R_w: t=0 \text{ での初期の走尾確率} \quad \left\{ hs: \text{流} \rightarrow \text{厚} (= ここでは } 2\text{ m} \right\} \quad SS \\ R': t=t, h=h \text{ の } " \quad \left\{ \rho_2: 2.67\text{ g/cm}^3, \text{ 水温 } 15^\circ\text{C} \right\} \quad [mg/L]$$

図-7 は、1 日～40 日までの各水深での SS 低減曲線と、各平均径に対する浓度の低減曲線を示したものである。水深によると異なるが、だいたい 10m 以前後では、 SS と浓度の変化傾向に大きな差がみられるのに注目すべきであろう。

4. あとがき 水温分布に基づく浓度分布の考慮、現実に近いモデルについてさらに検討していただきたい。なお、実験は東北大学准教授西田に岩井甚兵郎俊君、向井勝君に多大の協力を得た。記して謝意を表する。

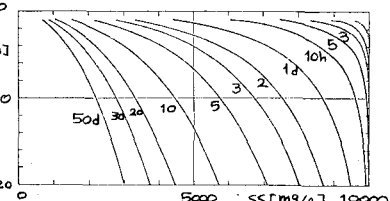


図-5 大洪水後の清澄化

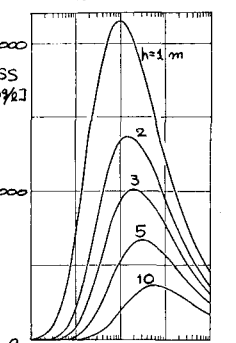


図-6 脱着濃度流入後の SS 減少

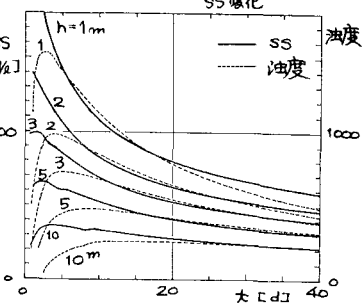


図-7 脱着濃度流入後の SS と浓度の変化